

建設省中部地方建設局

本州四国連絡橋公団

東洋技研コンサルタント(株)

正会員 多田 浩彦

〃 山根 哲雄

〃 大山 智章

橋脚基礎が地盤の中に根入れされた場合、基礎と地盤との摩擦係数、粘着力またはせん断抵抗の如何によっては、局部滑りまたは剥離現象が発生するものと思われるのを、この境界を滑り結合または剥離とみなして、応力、変形の再配分を考慮して再計算する必要がある。ここでは、不連続界面における結合の性質を一般化するために、図-1に示すように境界面を x 、 y 軸に平行にし、境界面をはさんで左右それぞれ三角形要素の分割を独立に切離し、適合条件式を結合の性質に応じて以下のように仮定した。

(i) 連続体結合の場合

適合式; $\delta_{ix} = \delta_{jix}$, $\delta_{iy} = \delta_{jiy}$

(ii) 摩擦滑りの場合

i (j) 向に抗力が発生し、 $|F_{ci}| > C_0 + \mu_s |F_n|$ のとき摩擦滑りが発生する。

適合式; $\delta_{ix} = \delta_{jix}$, $\delta_{iy} \neq \delta_{jiy}$

摩擦滑り発生後において、i(j) 向に F_n と反対方向に $\mu_d |F_n|$ を作用させる。

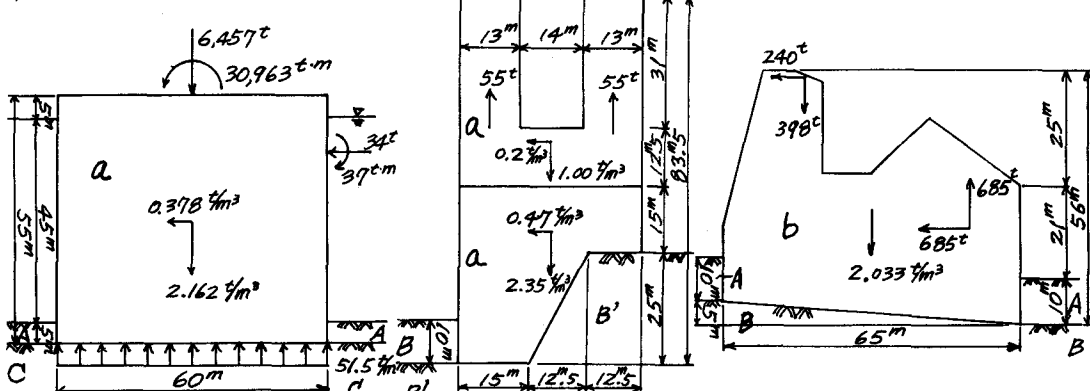
(iii) 剥離の場合

i (j) 向に剥離力が発生し、 $|F_n| > C$ のとき剥離が発生する。

適合式; $\delta_{ix} \neq \delta_{jix}$, $\delta_{iy} \neq \delta_{jiy}$

また、 $|F_n| \leq C$ で、 $|F_c| > C$ のとき単純滑りが発生するものとし、(ii)と同じ適合式を用いる。この場合は $\mu_d |F_n|$ は作用させない。

つぎに、隅角においては、基礎が土から離脱しようとする挙動に対してのみ滑り又は剥離を考慮するが、離脱後の現象はすべて剥離現象であると仮定した。更に、滑りまたは剥離が一旦生じた後は、以後の計算においてその現象がそのまま同一状態を保つものと仮定した。荷重載荷は荷重増加法によるものとし、本解では境界に最初の滑りまたは剥離が発生する最小荷重を逆算し、これを初期荷重として最終荷重までを5等分して増分荷重を算定し、荷重増加をあこなうとした。以下に、本州四国連絡橋のアンカーベースについて三つの代表的な数値計算結果を示す。



アンカーベース(1) 橋軸方向(地震時), アンカーベース(2) 橋軸直角方向(地震時), アンカーベース(3) 橋軸方向(常時)

図-2 構造モデルと荷重図

	種類	E_s (常時)	E_a (地震時)	μ_D	$\mu_s(\mu_a)$	$C_0(C)$	C
コンクリート	a	2.1×10^6 (t/m^2)	0.15	—	—	—	—
	b	1.4×10^6	"	—	—	—	—
地盤 (花崗岩)	A	1.5×10^4	4.5×10^4	0.3	0.3	$8(t/m^2)$	$1(t/m^2)$
	B	3.5×10^4	8.5×10^4	"	"	40	"
	B'	1.0×10^5	2.0×10^5	"	"	50	"
	C	3.0×10^5	6.0×10^5	"	"	50	"

表-1 物性定数

基礎	着目点	水平方向	鉛直方向
(1)	天端前面	-3.6 (cm)	3.5 (cm)
(2)	スプレーサー部	-3.0	2.5
(3)	"	-7.8	7.5

表-2 基礎天端部の変位

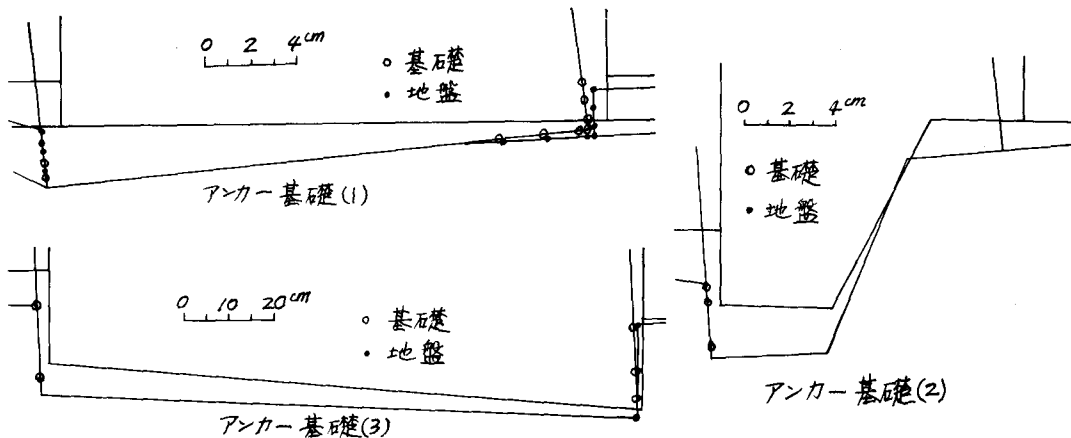


図-3 基礎と境界の最終変位図

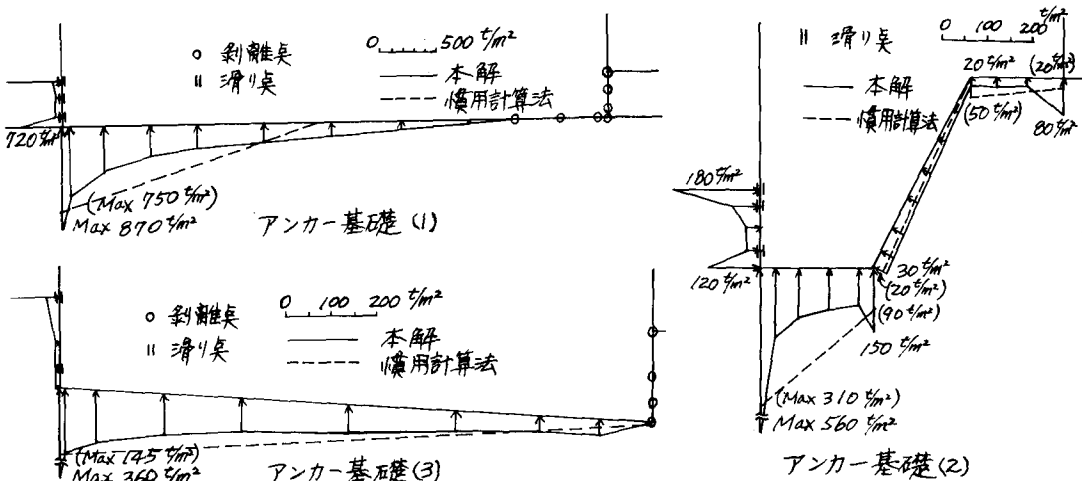


図-4 地盤反力と境界の最終状態図

図-4に明らかなように、アンカーベースの安定性に影響の大きい基礎底面の地盤反力分布は、慣用計算法に比べて、本解法による方が底面の接地長さが大きく、また、反力の合力の基礎底面中央からの偏心量が小さい。
参考文献 (1) 多田, 山根, 大山「ケーラン基礎境界の力学的挙動」第6回国土開発工学研究発表会 昭. 46. 6
(2) 多田, 山根, 大山「ケーラン基礎の耐震安定性に関する考察」第7回国土開発工学研究発表会 昭. 47. 6